

京都大学大学院 学生員 〇小池 武  
京都大学工学部 正員 亀田 弘行

1. まえがき 本研究は、荷重の大きさに依存する強度劣化の概念を導入することにより、くり返し荷重を受ける構造物の信頼性理論に、新たな展開を与えたものである。この理論の特色は、①残存強度の確率分布を誘導したこと。②従来の信頼性理論で考慮されていなかった非破壊効果と、③と、荷重の大きさに依存する強度劣化効果を、信頼性理論に導入したこと。④危険率のより正確な評価を与えたこと。⑤耐用期間中の任意の時点での、過去から未来に渡る荷重列に対する構造物の信頼性の变化を予測する方法を与えたこと。等である。

2. 信頼性理論

2.1. 従来の信頼性理論 Freundenthal, et. al<sup>1)</sup>により確立された古典信頼性理論では、構造物の残存強度  $R_N$  が、常に、初期強度  $R_0$  に等しいか、又は、作用荷重の載荷回数にのみ依存して劣化すると仮定するかのいずれかであった。したがって、両者の場合、ともに、その確率分布特性は、初期強度の確率分布特性に等しくなる。前者の仮定 (i.e.  $R_N = R_0$ ) に従う場合は、危険率  $h_N(N)$  が、単調減少性を示すことを  $A_{NG}$  and  $A_{min}$ <sup>2)</sup> が指摘したが、これは、抵抗強度の劣化を無視したことによる結論であり、構造物の信頼性を過小評価している。一方、荷重履歴に生ずる残ったという非破壊効果が、残存強度の確率分布特性に反映されていないため、Fig.1に見るように、中央安全率のとりよせにより、構造物の信頼性を過大評価することもある。次に、後者の仮定 (i.e.  $R_N = R_0 \psi(N)$ )  $\psi(N)$ : 非増加単調減函数) が適用可能なのは、一定荷重又は、狭帯域のランダム荷重に限定され、バラツキの大きいランダム荷重に利しては、適用不可能となる。この場合には、本研究が提示するよりの、荷重の大きさに依存して強度劣化をまじるといふ仮定を導入しなくてはならない。

2.2. 提示する信頼性理論 (i) 仮定 残存強度  $R_N$  は、強度劣化係数  $\varphi(S)$  を用いて次のように定義される。

$$R_N(s_1, s_2, \dots, s_N) = R_0 \prod_{k=1}^N \varphi(s_k) \quad \text{--- } \varphi(s) \quad 0 \leq \varphi(s) \leq 1 \quad \text{----- (1)}$$

Fig.1 に示すような強度劣化モード、タイプA とタイプB を考え、それぞれに対応する強度劣化係数  $\varphi_A(x)$ ,  $\varphi_B(x)$  を次のように与える。

$$\varphi_A(x) = \exp\left(-C_A \cdot \frac{x}{r_m}\right) \quad \text{----- (2)}$$

$$\varphi_B(x) = \frac{1}{2} \left[ 1 - \operatorname{erf}\left(\frac{\sqrt{2} \ln \frac{x}{r_m} - \beta}{\sqrt{2} C_B}\right) \right] \quad \text{----- (3)}$$

---  $r_m$ : 初期強度の平均値,  $C_A, C_B, \beta$ : 無次元パラメータ

従来の理論と比較のため、 $\psi(k) = \exp(-C_A \frac{k}{r_m})$  とする。(4)

(ii) 将来のランダム荷重列に対する信頼性理論

$n-1$ 個の荷重作用に生ずる構造物の残存強度の確率分布  $F_{R_{n-1}}(x)$  を用いると、危険率  $h_N(N)$  が次式で定義される。

$$h_N(N) = \int_0^{\infty} F_{R_{n-1}}(x) f_{s_n}(x) dx \quad f_{s_n}(x) : \text{第 } n \text{ 番目の荷重の確率密度} \quad \text{----- (5)}$$

信頼性函数  $L_N(N)$  は、式(5)を用いて次式で与えられる。

$$L_N(N) = \prod_{k=1}^n \{ 1 - h_N(k) \} \quad \text{----- (6)}$$

(iii) 過去の既知の荷重作用による影響を考慮した場合の信頼性理論

既知の  $l$ 個の荷重列  $s_1, s_2, \dots, s_l$  を受けた構造物の現在の残存強度  $R$  の確率分布  $F_{R^l}^{(2)}(x; s_1, s_2, \dots, s_l)$  を用いると、危険率  $h_N(l; s_1, s_2, \dots, s_l)$ , 信頼性函数  $L_N(l; s_1, s_2, \dots, s_l)$  は、次式で表わされる。

$$h_N(l; s_1, s_2, \dots, s_l) = \int_0^{\infty} F_{R^l}^{(2)}(x; s_1, s_2, \dots, s_l) f_{s_N}(x) dx \quad \text{----- (7)}$$

$$L_N(l; s_1, s_2, \dots, s_l) = 1 - h_N(l; s_1, s_2, \dots, s_l) \quad \text{----- (8)}$$

次に、 $F_{R_0}(x) = F_{R^l}^{(2)}(x; s_1, s_2, \dots, s_l)$  とし (7)式に代入すれば、過去  $l$ 個の荷重作用に生ずる、で現在存する構造物の

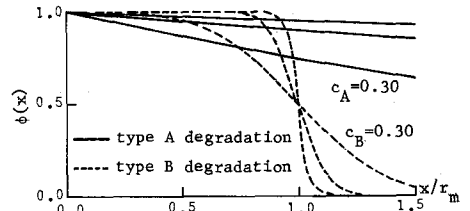


Fig.1. The Strength Degradation Modes

荷重の \$N\$ 個の荷重作用に対する信頼性パラメータを定めることが可能となる。

### 3. 残存強度の確率分布

#### 3.1. 荷重の荷重列に対する場合

第 1 回の荷重 \$s\_1\$ に生じる残存強度の確率分布 \$F\_{R\_1}(x)\$ は、次式で定義される。

$$F_{R_1}(x) = P[R_1 \leq x \mid \text{no failure in } s_1] \quad \text{----- (9)}$$

式 (1) と初期強度の確率分布 \$F\_{R\_0}(x)\$ を用いると、次式が得られる。

$$F_{R_1}(x) = \frac{\int_0^{\infty} [F_{R_0}(\frac{x}{\varphi(s_1)}) - F_{R_0}(s_1)] f_{s_1}(s_1) H(x - s_1 \varphi(s_1)) ds_1}{1 - \int_0^{\infty} F_{R_0}(s_1) f_{s_1}(s_1) ds_1} \quad \text{----- (10)}$$

= 2° \$H(x)\$ は、\$s \rightarrow \tau\$ 函数

同様にすれば、\$N\$ 回の荷重作用に生じる残存強度の確率分布 \$F\_{R\_N}(x)\$ は、次式で与えられる。

$$F_{R_N}(x) = \frac{\sum_{k=1}^N \int_{s_{1,0}}^{\infty} \dots \int_{s_{k-1,0}}^{\infty} [F_{R_0}(\frac{x}{\prod_{i=1}^k \varphi(s_i)}) - F_{R_0}(s_k^*)] H(x - s_k^* \prod_{i=1}^k \varphi(s_i)) f_{s_1, s_2, \dots, s_N}(s_1, s_2, \dots, s_N) ds_1 ds_2 \dots ds_N}{\sum_{k=1}^N \int_{s_{1,0}}^{\infty} \dots \int_{s_{k-1,0}}^{\infty} [1 - F_{R_0}(s_k^*)] f_{s_1, s_2, \dots, s_N}(s_1, s_2, \dots, s_N) ds_1 ds_2 \dots ds_N} \quad \text{----- (11)}$$

こゝで、 $s_k^* = \max(s_1, \frac{s_2}{\varphi(s_1)}, \dots, \frac{s_N}{\prod_{i=1}^{k-1} \varphi(s_i)})$  ----- (12)

#### 3.2. 過去の荷重列に対する場合

\$s\_1\$ という既知の大きさの荷重を負けた構造物の現在の残存強度 \$R\_0^\*\$ の確率分布 \$F\_{R\_0^\*}(x; s\_1)\$ は、次式で与えられる。

$$F_{R_0^*}(x; s_1) = P[R_0^* \leq x \mid s_1 = s_1] = \frac{F_{R_0}(\frac{x}{\varphi(s_1)}) - F_{R_0}(s_1)}{1 - F_{R_0}(s_1)} H(x - s_1 \varphi(s_1)) \quad \text{----- (13)}$$

\$F\_{R\_0^\*}(x; s\_1, s\_2)\$, \$F\_{R\_0^\*}(x; s\_1, s\_2, s\_3)\$, etc. も同様の考え方で誘導することはできる。

### 4. 数値計算結果

#### 4.1. 残存強度の平均値比 \$R\_m^\*/R\_m\$、変動係数比 \$C\_{R^\*}/C\_{R\_0}\$

平均値比は、タイプ A とタイプ B 共に、全般的に、1 より小さい値をとる。特に中央安全率 \$\nu = R\_m^\*/R\_m\$ の小さい範囲で、この傾向が著しい。これは、強度劣化効果の顕現として理解できる。変動係数 \$C\$ が 0.6 という非常に散しい荷重条件において、構造物が生じる時、非破壊効果の卓越する様子が、Fig. 2 から観察できる。タイプ A では、変動係数比は、ほとんど 1 に等しいのに対し、タイプ B では、\$\nu\$ の小さい範囲で、2 倍程度にバラツキが大きくなるのは、強度劣化効果に基づく結果である。

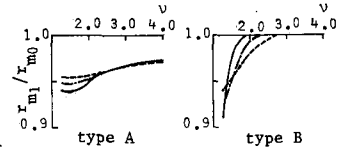


Fig. 2. Mean Value Ratio  
— \$c\_s = 0.2\$ --- \$c\_s = 0.4\$ - - - \$c\_s = 0.6\$

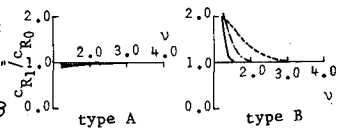


Fig. 3. Ratio of Coeff. of Var.

#### 4.2. 危険率比 \$h\_N(n)/h\_N(1)\$ と信頼性函数 \$L\_N(n)\$

タイプ A の危険率比は、全ての \$\nu\$ において、荷重作用と共に増加傾向にあるが、タイプ B では、\$\nu\$ の小さい範囲でのみ、同様の傾向がみられる。一方、\$\nu = 3.0\$ では、古典理論で、\$R = \text{const.}\$ の場合の危険率を下回る値をとっているが、これは、古典理論で考慮しなかった非破壊効果の影響である (Fig. 4)。Fig. 5 は、信頼性函数に対して、同様の傾向が示されている。\$\nu\$ が大きい時、古典理論の値に近づく傾向がみられる。

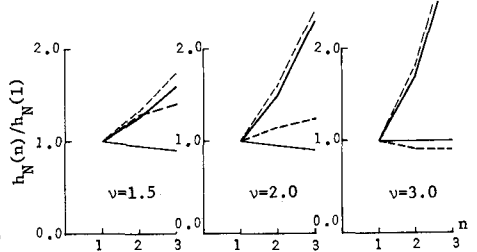


Fig. 4. Failure Rate Ratio

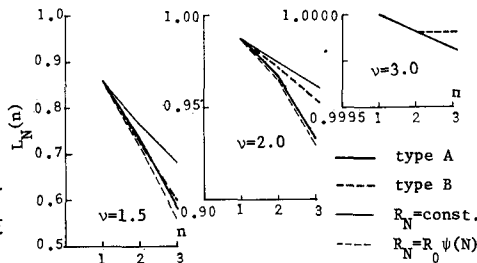


Fig. 5. The Reliability Function

### 5. あとがき

この理論は、地震荷重のような、ランダムな破壊的荷重に対する構造物の信頼性の問題に適用しやすい形で提示されている。また、強度劣化モードに関する実験的理論的研究が、現在行われている。

参考文献: 1) Freudenthal, et al.: ASCE Vol. 92, ST1 pp. 267-325, 1966 2) Ang, A. H. S. & Amini, M.: ASCE, Vol. 94, EM2 pp. 529-533, 1968